

МИНИСТЕРСТВО ОБРАЗОВАНИЯ РЕСПУБЛИКИ БЕЛАРУСЬ  
БЕЛОРУССКИЙ ГОСУДАРСТВЕННЫЙ УНИВЕРСИТЕТ

ФАКУЛЬТЕТ ПРИКЛАДНОЙ МАТЕМАТИКИ И ИНФОРМАТИКИ

КАФЕДРА ВЫЧИСЛИТЕЛЬНОЙ МАТЕМАТИКИ

**Лабораторная работа №3**

**«Исследование устойчивости разностных схем»**

**Вариант 4**

Выполнила:

Гут Валерия Александровна  
студентка 4 курса 7 группы

Преподаватель:

Репников Василий Иванович

Минск, 2024 г.

# Исследование устойчивости разностных схем

Дана дифференциальная задача для уравнения переноса

$$\begin{cases} \frac{\partial u}{\partial t} + a \frac{\partial u}{\partial x} = 0, & 0 < x < \infty, \quad t > 0, \\ u(x, 0) = u_0(x), & x \geq 0 \\ u(0, t) = \mu_0(t), & t \geq 0 \end{cases} \quad (1)$$

где

- $a = 10$ ;
- $u_0(x) = x^2$ ;
- $\mu_0(t) = 100t^2$ .

Сразу же проверим условия согласования для корректной постановки задачи:

$$u_0(0) = 0 = \mu_0(0).$$

Определим входные данные компьютерно

```
[1]: a = 10

def u_0(x):
    return x**2

def mu_0(t):
    return 100*t**2
```

## Построение разностной схемы, погрешность аппроксимации

Для поставленной дифференциальной задачи известно точное решение

$$u(x, t) = \begin{cases} u_0(x - at), & t \leq \frac{x}{a}, \\ \mu_0\left(t - \frac{x}{a}\right), & t \geq \frac{x}{a}. \end{cases}$$

Подставляя известные функции, получим точное решение задачи вида

$$u(x, t) = \begin{cases} (x - 10t)^2, & t \leq \frac{x}{10}, \\ 100\left(t - \frac{x}{10}\right)^2, & t \geq \frac{x}{10}. \end{cases}$$

Определим компьютерно функцию, соответствующую точному решению.

```
[2]: def u(x, t):
    if a * t < x.all():
        return u_0(x - a * t)
    else:
        return mu_0(t - x / a)
```

Пусть задана равномерная сетка узлов

$$\omega_{h\tau} = \omega_h \times \omega_\tau,$$

где

$$\omega_h = \{x_k = kh, k = 0, 1, \dots, h > 0\}, \quad \omega_\tau = \{t_j = j\tau, j = 0, 1, \dots, \tau > 0\}.$$

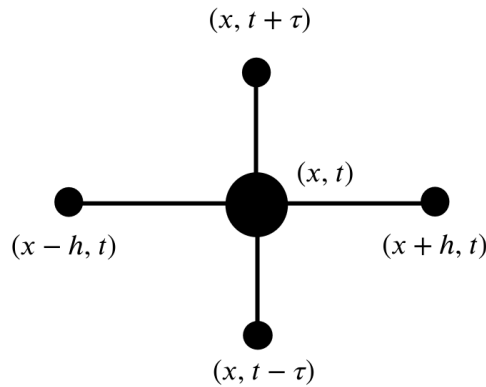
Зададим компьютерно сетки узлов. На вход эта функция принимает правую границу для сетки узлов и число разбиений отрезка, а возвращает шаг и узлы сетки.

```
[3]: import numpy as np

def generate_grid(right_border, num_splits):
    step = right_border / num_splits
    grid = np.linspace(0, right_border, num_splits+1)
    return step, grid
```

По условию также задан следующий шаблон

$$\Pi(x, t) = \{(x - h, t), (x, t), (x + h, t), (x, t - \tau), (x, t + \tau)\}.$$



Используя предложенный шаблон на заданной сетке узлов построим разностную схему в безиндексной форме, заменяя дифференциальные производные разностными аналогами

$$\begin{cases} y_t^\circ + ay_x^\circ = 0, & (x, t) \in \omega_{h\tau}, \\ y(x, 0) = u_0(x), & x \in \omega_h, \\ y(0, t) = \mu_0(t), & t \in \omega_\tau. \end{cases} \quad (2)$$

Разностная схема также может быть записана в индексной форме в виде

$$\begin{cases} \frac{y_k^{j+1} - y_k^{j-1}}{2\tau} + a \frac{y_{k+1}^j - y_{k-1}^j}{2h} = 0, & k = 1, 2, \dots, j = 1, 2, \dots, \\ y_k^0 = u_0(x_k), & k = 0, 1, \dots, \\ y_0^j = \mu_0(t_j), & j = 0, 1, \dots, \end{cases} \quad (3)$$

Нужно вычислить погрешность аппроксимации разностной схемы. Начальное и граничное условия аппроксимируются точно, так что погрешность аппроксимации разностной схемы определяется только погрешностью аппроксимации

дифференциального уравнения. Поэтому для любой точки  $(x, t) \in \omega_{h\tau}$  погрешность аппроксимации будет равна

$$\Psi(x, t) = u_{\circ}^{\circ} + au_{\circ}^{\circ} = \frac{\partial u}{\partial t} - \frac{\tau^2}{6} \cdot \frac{\partial^3 u}{\partial^3 t} + O(\tau^4) + \frac{\partial u}{\partial x} - \frac{h^2}{6} \cdot \frac{\partial^3 u}{\partial^3 x} + O(h^4) = O(h^2 + \tau^2),$$

то есть данная разностная схема обладает вторым порядком аппроксимации по  $x$  и вторым порядком аппроксимации по  $t$ .

## Исследование устойчивости разностной схемы спектральным методом

Исследование устойчивости по спектральному методу предусматривает подстановку следующего выражения в разностное уравнение

$$y_k^j = q^j e^{ik\varphi}, \quad \varphi \in (0, 2\pi).$$

Итак, подставляя это выражение в разностное уравнение схемы (3), получим

$$\frac{q^{j+1} e^{ik\varphi} - q^{j-1} e^{ik\varphi}}{2\tau} + a \frac{q^j e^{i(k+1)\varphi} - q^j e^{i(k-1)\varphi}}{2h} = 0.$$

Сокращая общие множители, получим

$$\frac{q - q^{-1}}{2\tau} + a \frac{e^{i\varphi} - e^{-i\varphi}}{2h} = 0.$$

Таким образом, можно выразить

$$q - q^{-1} = \gamma(e^{i\varphi} - e^{-i\varphi}) = 2\gamma i \sin \varphi, \quad \gamma = \frac{a\tau}{h}.$$

Домножим на  $q$ , перенесем все в одну сторону и получим

$$q^2 - 2q\gamma i \sin \varphi - 1 = 0.$$

Получили квадратное уравнение относительно  $q$ . Найдём его корни

$$q = \frac{2\gamma i \sin \varphi \pm \sqrt{-4\gamma^2 \sin^2 \varphi + 4}}{2}$$

Далее по спектральному методу для устойчивости необходимо выполнение условия  $|q|^2 \leq 1$ . Рассмотрим это условие

$$|q|^2 = 1 - \gamma^2 \sin^2 \varphi + (\gamma \sin \varphi)^2 = 1.$$

Таким образом, по спектральному методу разностная схема устойчива для любого  $\gamma$ .

## Исследование устойчивости разностной схемы с помощью принципа максимума

Следуя принципу максимума, в качестве точки для исследования устойчивости возьмем точку  $(x_i, t_{j+1})$ . Таким образом, мы можем переписать аппроксимацию основного уравнения переноса

$$\frac{1}{\tau} y_k^{j+1} = \frac{1}{\tau} y_k^{j-1} - \frac{a}{h} y_{k+1}^j + \frac{a}{h} y_{k-1}^j.$$

Можем записать коэффициенты, которые требуются для проверки условий устойчивости

$$A(x) = \frac{1}{\tau}, \quad B_1 = \frac{1}{\tau}, \quad B_2 = -\frac{a}{h}, \quad B_3 = \frac{a}{h},$$
$$D(x) = A(x) - (B_1 + B_2 + B_3) \equiv 0, \quad F(x) \equiv 0.$$

Из-за того, что

$$B_2 = -\frac{a}{h}, \quad B_3 = \frac{a}{h},$$

а  $a$  не может быть одновременно разных знаков, то одно либо  $B_2$ , либо  $B_3$  будут отрицательны. Следовательно, по принципу максимума мы не можем утверждать, что разностная схема устойчива.

## Реализация разностной схемы

```
[4]: import matplotlib.pyplot as plt
      from mpl_toolkits.mplot3d import Axes3D
```

Для реализации разностной схемы представим ее в виде

$$\begin{cases} y_k^{j+1} = y_k^{j-1} - \gamma(y_{k+1}^j - y_{k-1}^j), & k = 1, 2, \dots, j = 1, 2, \dots, \\ y_k^0 = u_0(x_k), & k = 0, 1, \dots, \\ y_0^j = \mu_0(t_j), & j = 0, 1, \dots, \end{cases} \quad \gamma = \frac{a\tau}{h}.$$

При реализации сначала строятся значения из начального и граничного условий. То есть мы задаем  $y_k^j$  при  $j = 0, \forall k$ , а затем при  $k = 0, \forall j$ . Остальные значения функций можно вычислять по формуле выше.

```
[5]: def diff_scheme_solve(x, t, h, tau, u_0, mu_0, a):
      gamma = a * tau / h

      y = np.zeros((len(x), len(t)))

      for k in range(len(x)):
          y[k, 0] = u_0(x[k])

      for j in range(len(t)):
          y[0, j] = mu_0(t[j])

      for j in range(len(t)-1):
          for k in range(len(x)-1):
```

```

        y[k, j+1] = y[k, j-1] - gamma * (y[k+1, j] - y[k-1, j])

    return y

```

Теперь сгенерируем сетку с  $\tau < h$ .

```

[6]: h, x_grid = generate_grid(0.1, 5)
    tau, t_grid = generate_grid(0.01, 5)

```

```

[7]: h

```

```

[7]: 0.02

```

```

[8]: tau

```

```

[8]: 0.002

```

Получим приближенное решение из разностной схемы

```

[9]: y = diff_scheme_solve(x_grid, t_grid, h, tau, u_0, mu_0, a)

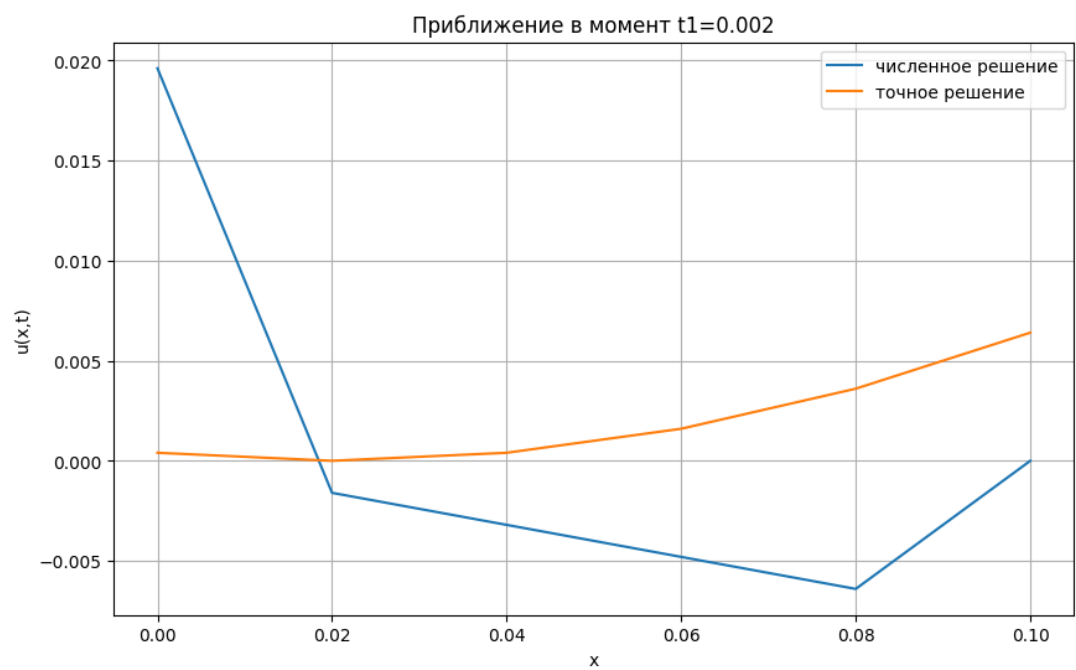
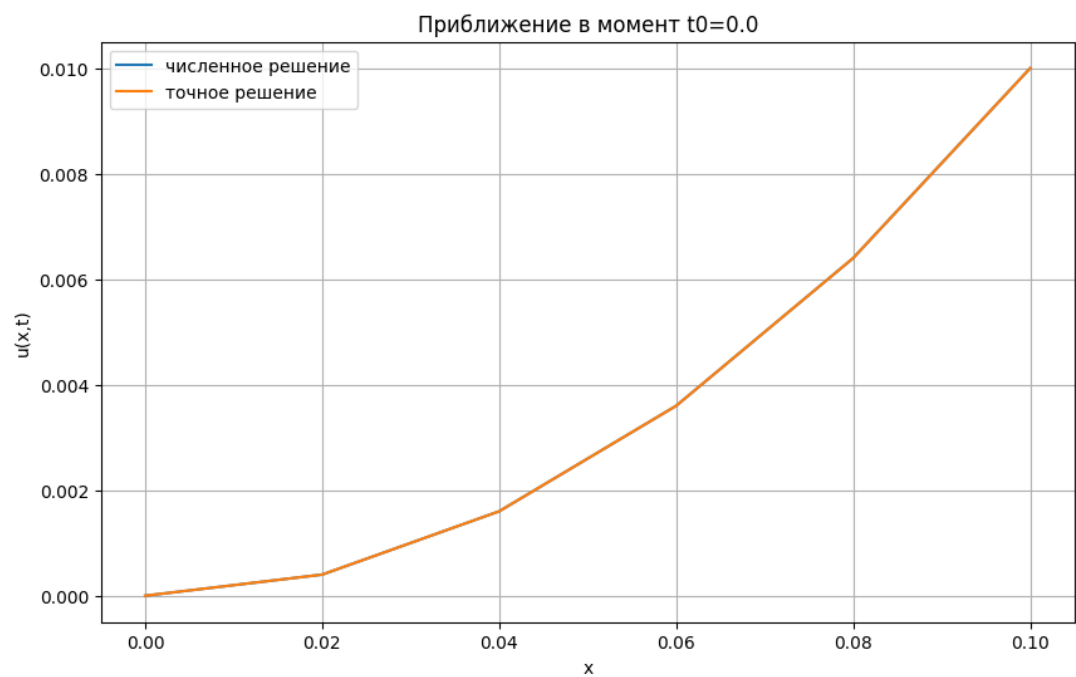
```

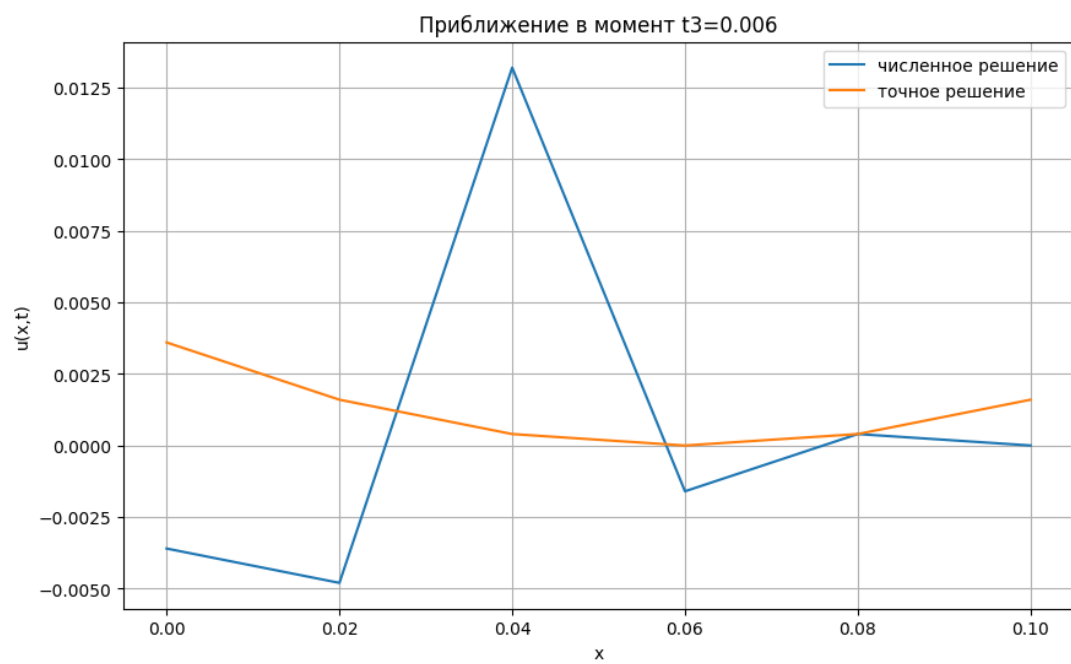
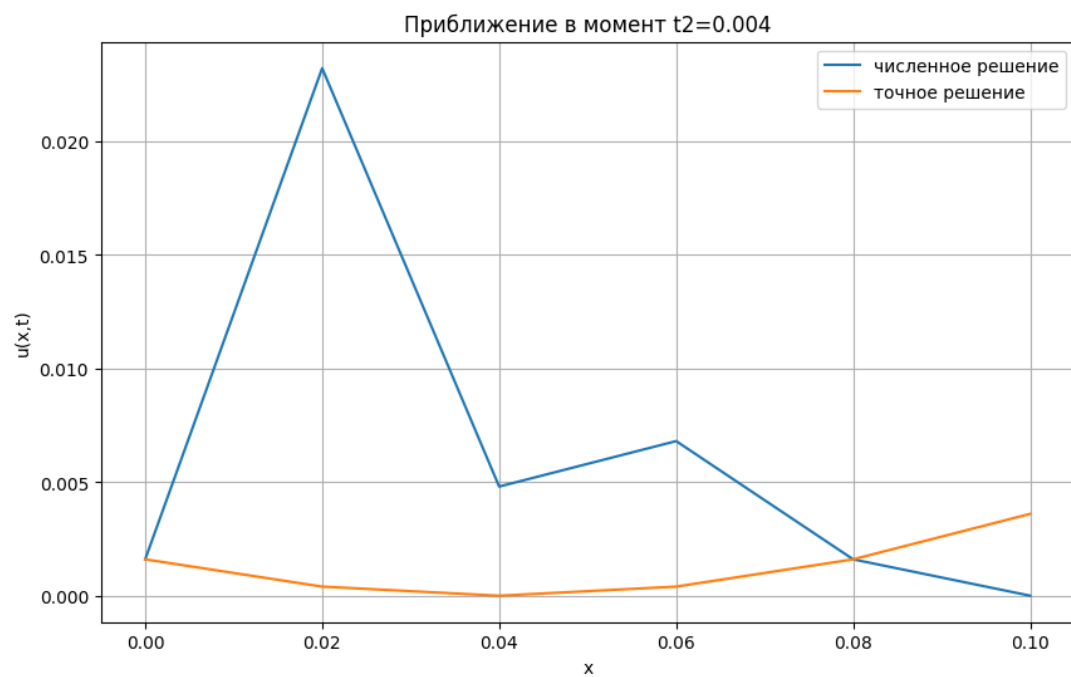
Выведем двумерный график

```

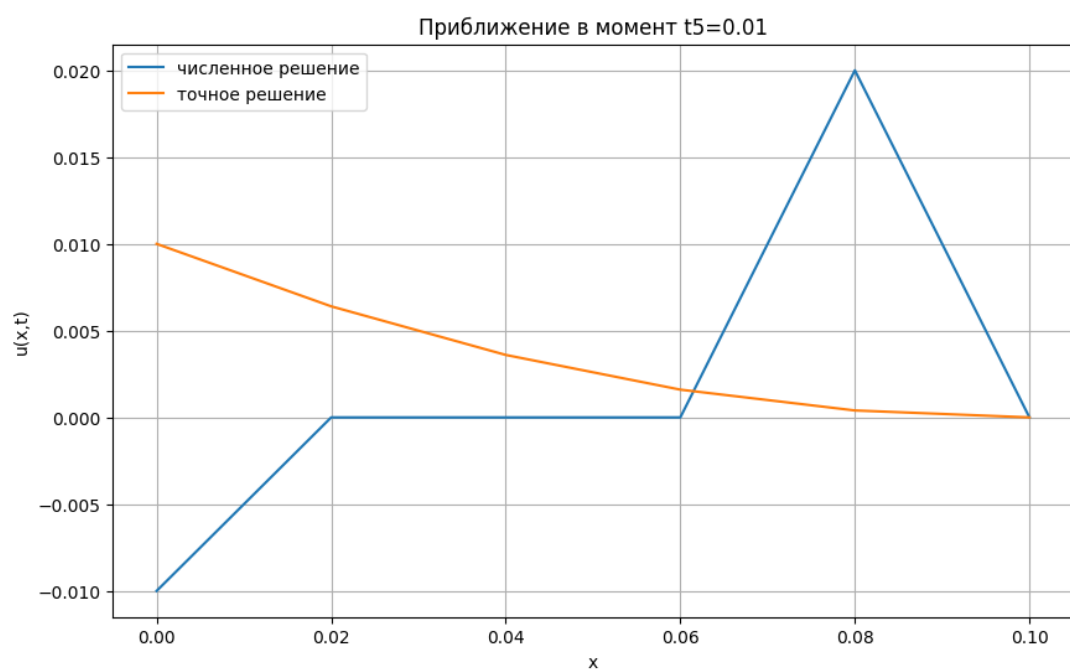
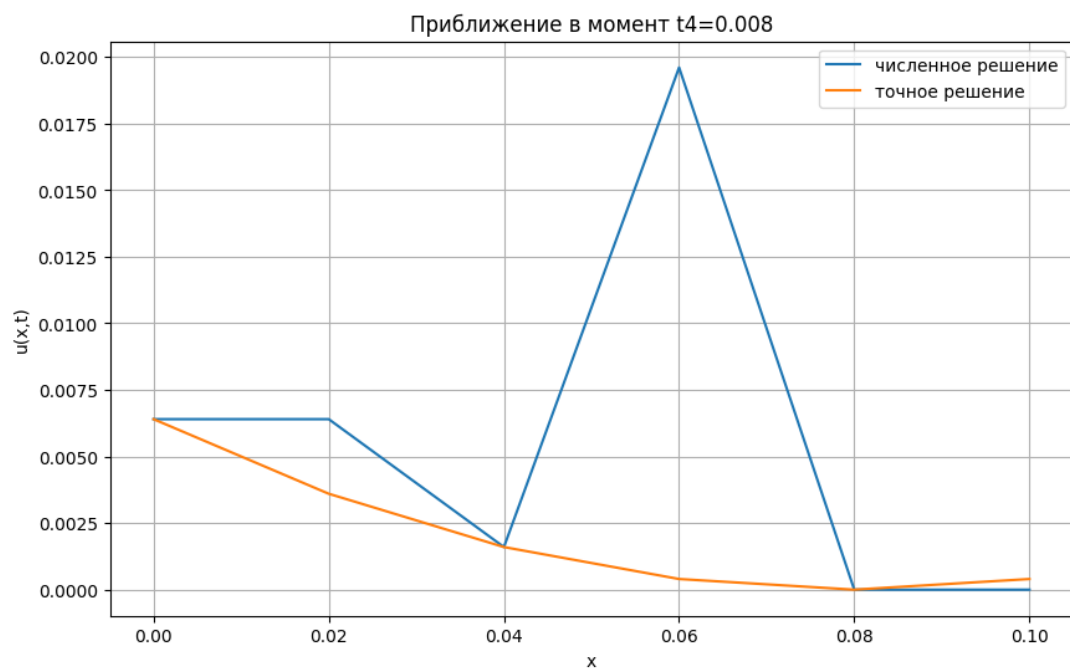
[10]: for j, t in enumerate(t_grid):
        plt.figure(figsize=(10, 6))
        plt.plot(x_grid[:, j], label='численное решение')
        plt.plot(x_grid, u(x_grid, t), label='точное решение')
        plt.grid(True)
        plt.xlabel('x')
        plt.ylabel('u(x,t)')
        plt.title('Приближение в момент t' + str(j) + '=' + str(round(t, 3)))
        plt.legend()
        plt.show()

```









Выведем трехмерные графики точного и приближенного решений

```
[15]: X, T = np.meshgrid(x_grid, t_grid)
      U = np.zeros_like(X)
      for i in range(T.shape[0]):
          U[i, :] = u(X[i, :], T[i, 0])
```

```

fig = plt.figure(figsize=(10, 7))
ax = fig.add_subplot(111, projection='3d')

surf = ax.plot_surface(X, T, U, cmap='viridis', edgecolor='k')

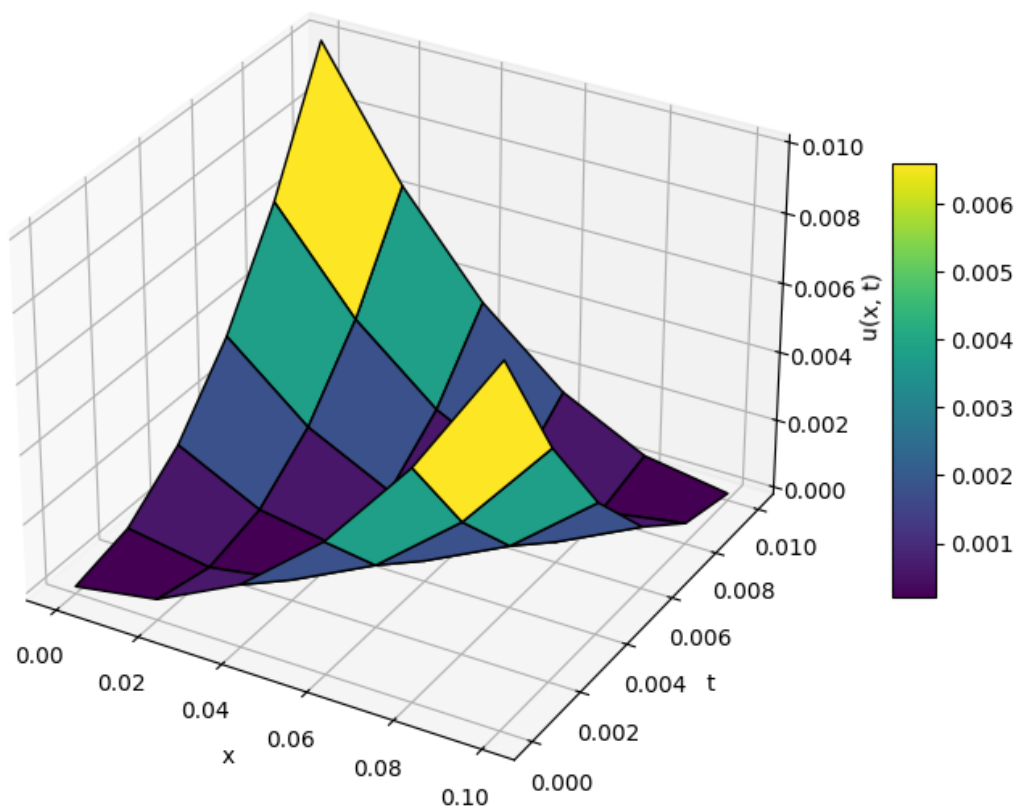
ax.set_xlabel('x')
ax.set_ylabel('t')
ax.set_zlabel('u(x, t)')

fig.colorbar(surf, ax=ax, shrink=0.5, aspect=10)

plt.title('График точного решения')
plt.show()

```

График точного решения



```

[16]: fig = plt.figure(figsize=(10, 7))
ax = fig.add_subplot(111, projection='3d')

X, T = np.meshgrid(x_grid, t_grid)

```

```

Y = y.T

surf = ax.plot_surface(X, T, Y, cmap='viridis', edgecolor='k')

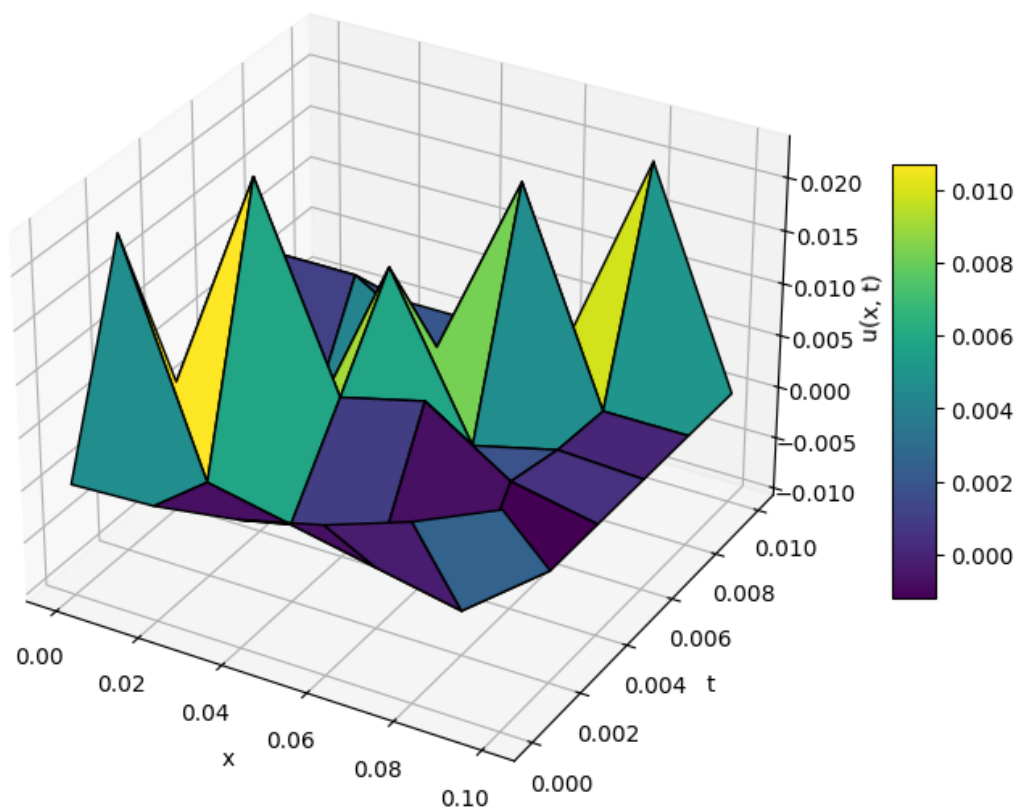
ax.set_xlabel('x')
ax.set_ylabel('t')
ax.set_zlabel('u(x, t)')

fig.colorbar(surf, ax=ax, shrink=0.5, aspect=10)

plt.title('График приближенного решения')
plt.show()

```

График приближенного решения



Как можно видеть, по поведению приближенного решения мы можем утверждать, что полученная разностная схема неустойчива.

Рассмотрим теперь случай  $h < \tau$ .

```

[18]: h, x_grid = generate_grid(0.01, 5)
      tau, t_grid = generate_grid(0.1, 5)

```

```
[19]: h
```

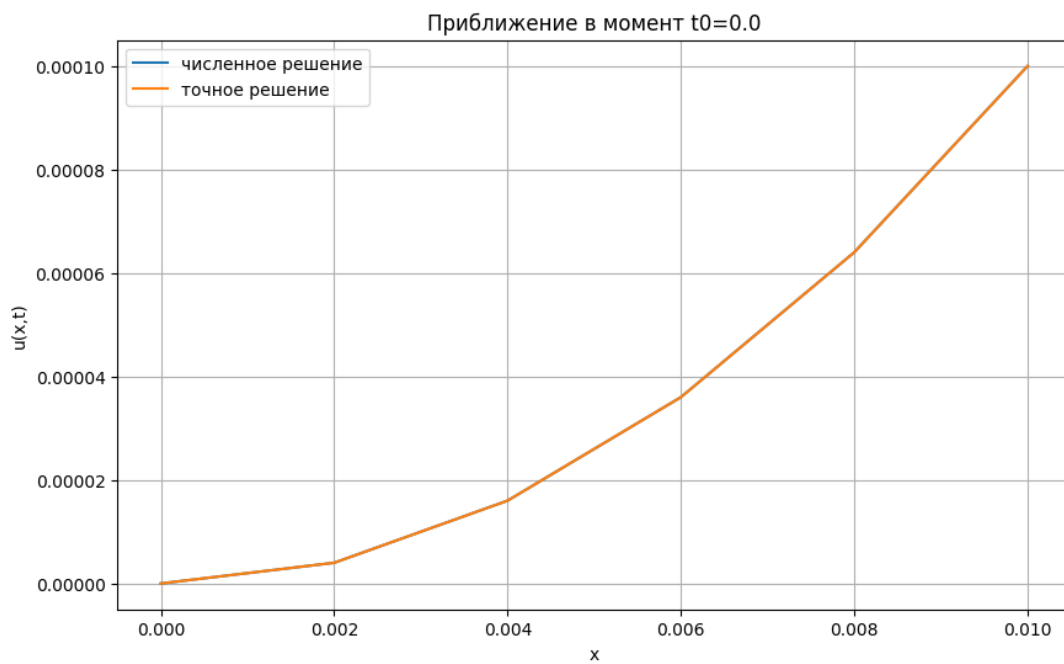
```
[19]: 0.002
```

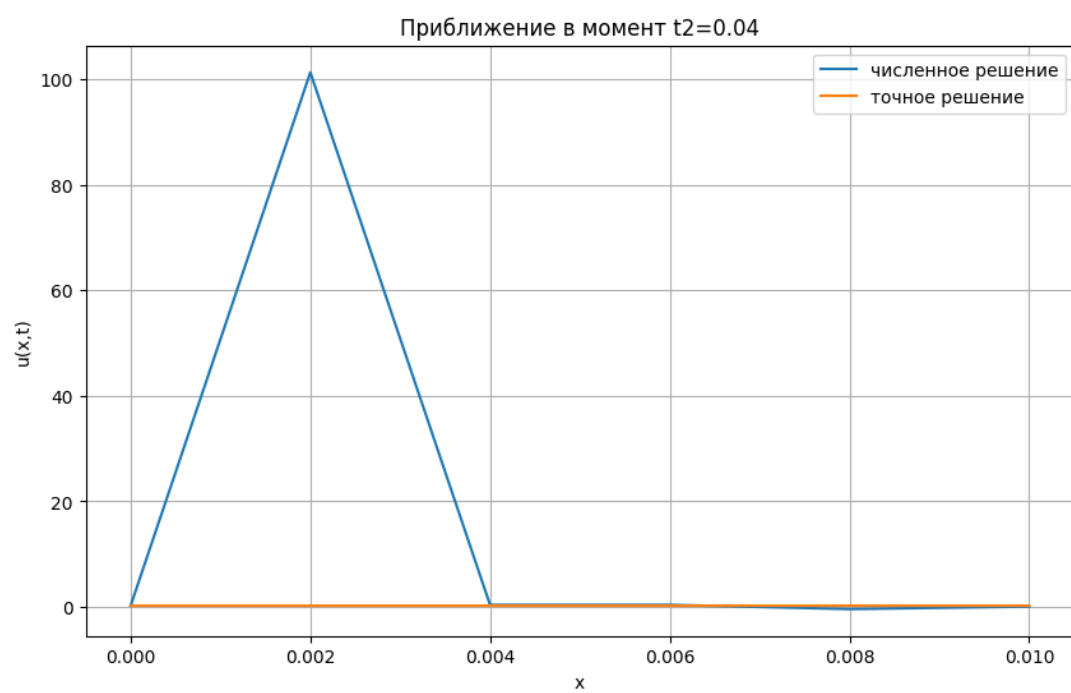
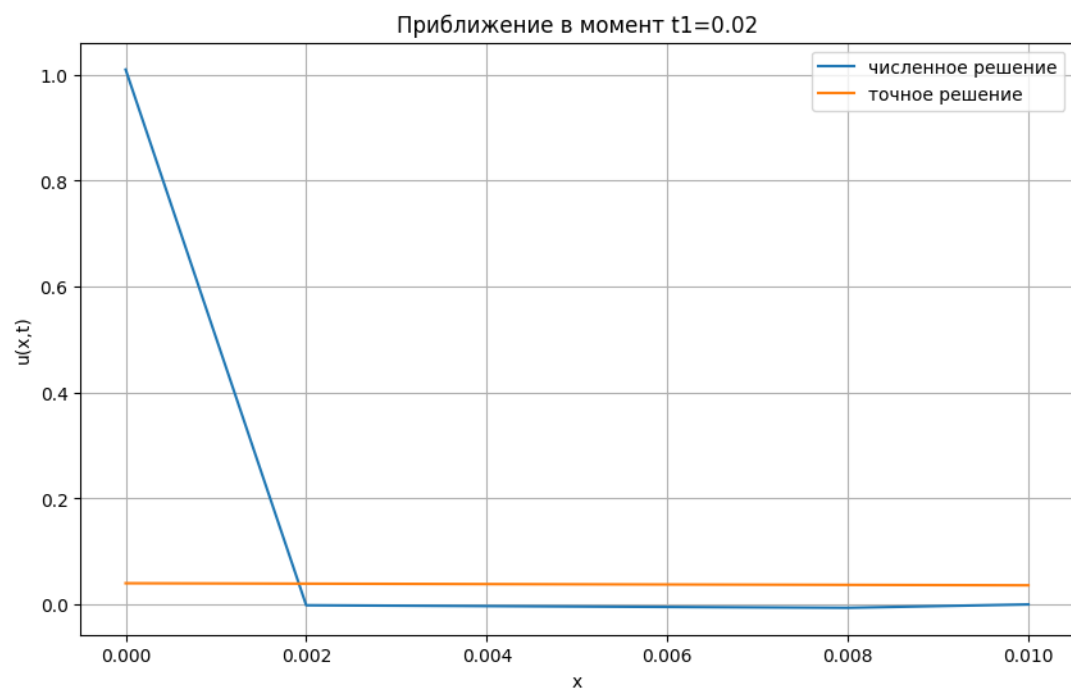
```
[20]: tau
```

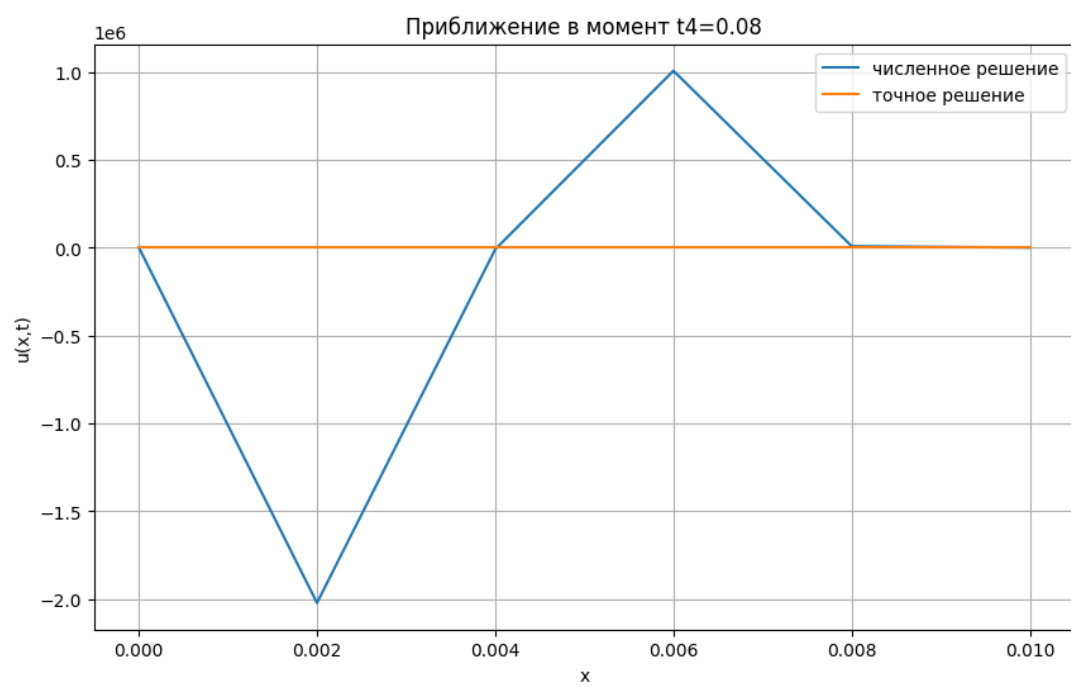
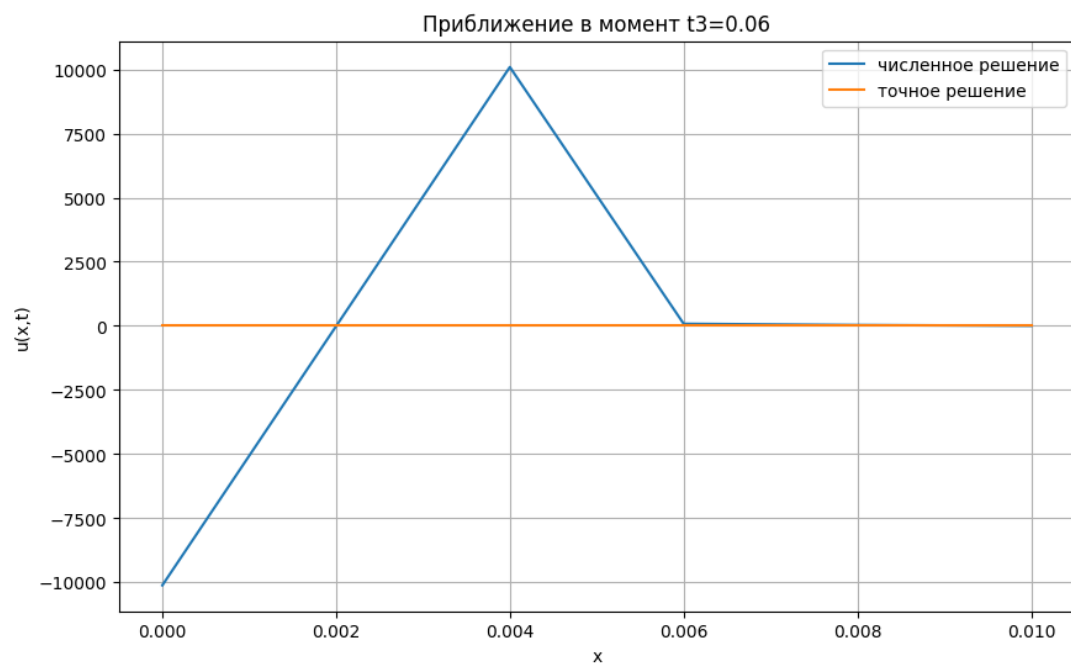
```
[20]: 0.02
```

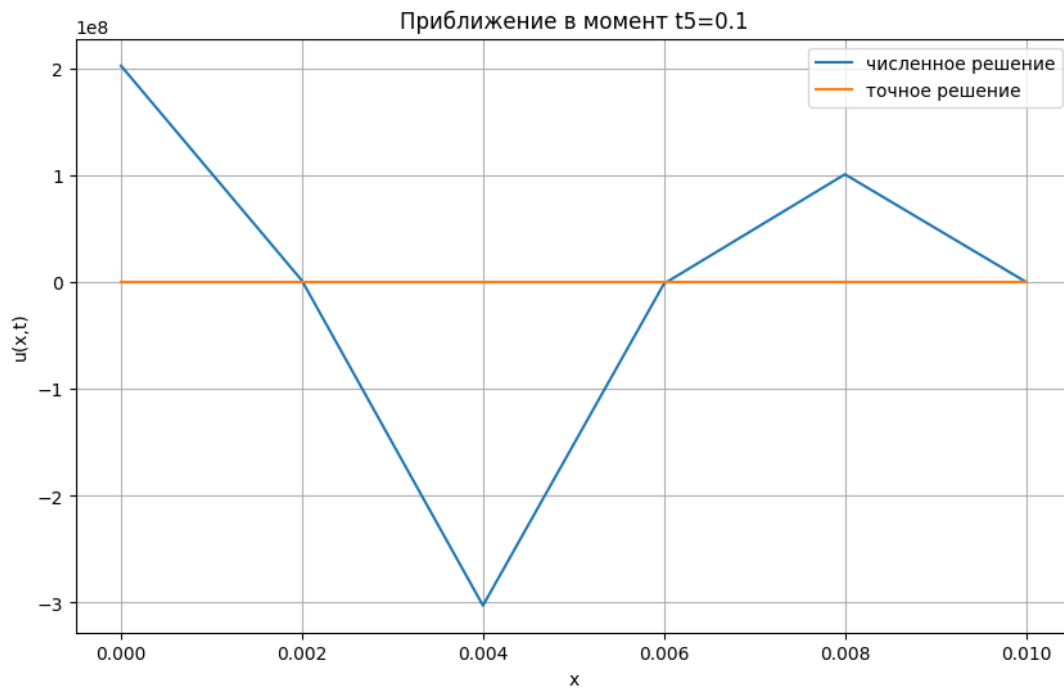
```
[21]: y = diff_scheme_solve(x_grid, t_grid, h, tau, u_0, mu_0, a)
```

```
[22]: for j, t in enumerate(t_grid):  
    plt.figure(figsize=(10, 6))  
    plt.plot(x_grid[:, j], y[:, j], label='численное решение')  
    plt.plot(x_grid, u(x_grid, t), label='точное решение')  
    plt.grid(True)  
    plt.xlabel('x')  
    plt.ylabel('u(x,t)')  
    plt.title('Приближение в момент t' + str(j) + '=' + str(round(t, 3)))  
    plt.legend()  
    plt.show()
```









```
[23]: X, T = np.meshgrid(x_grid, t_grid)
U = np.zeros_like(X)
for i in range(T.shape[0]):
    U[i, :] = u(X[i, :], T[i, 0])

fig = plt.figure(figsize=(10, 7))
ax = fig.add_subplot(111, projection='3d')

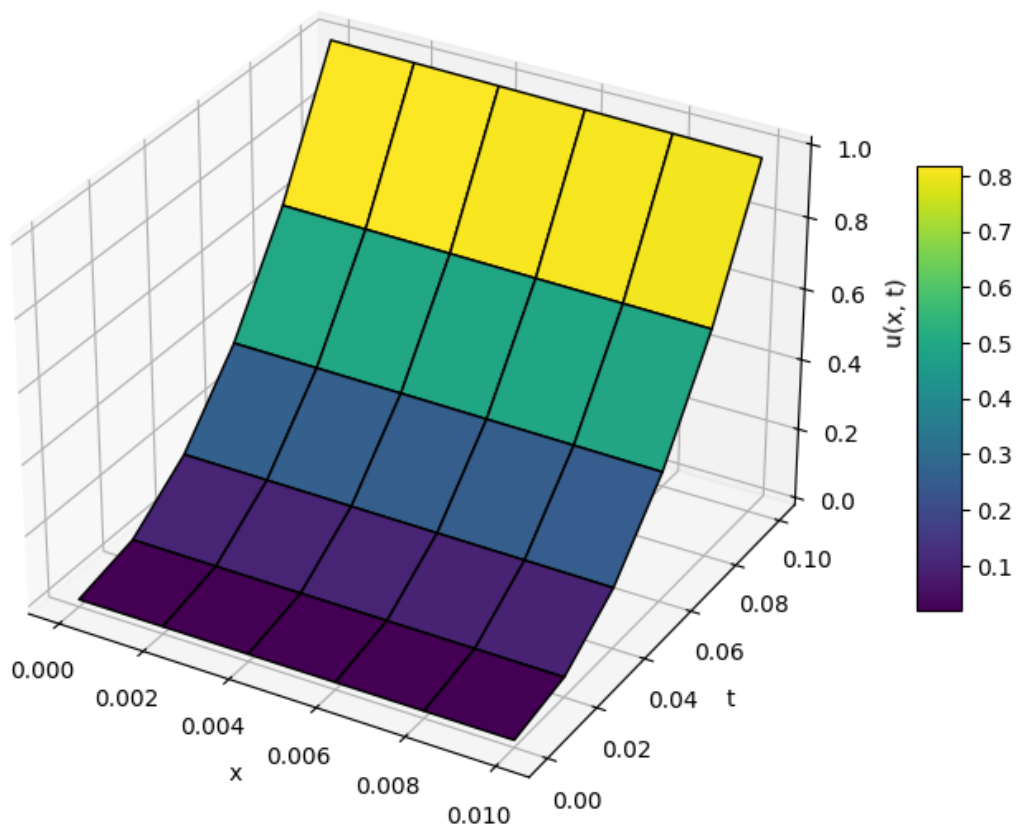
surf = ax.plot_surface(X, T, U, cmap='viridis', edgecolor='k')

ax.set_xlabel('x')
ax.set_ylabel('t')
ax.set_zlabel('u(x, t)')

fig.colorbar(surf, ax=ax, shrink=0.5, aspect=10)

plt.title('График точного решения')
plt.show()
```

График точного решения



```
[24]: fig = plt.figure(figsize=(10, 7))
ax = fig.add_subplot(111, projection='3d')

X, T = np.meshgrid(x_grid, t_grid)

Y = y.T

surf = ax.plot_surface(X, T, Y, cmap='viridis', edgecolor='k')

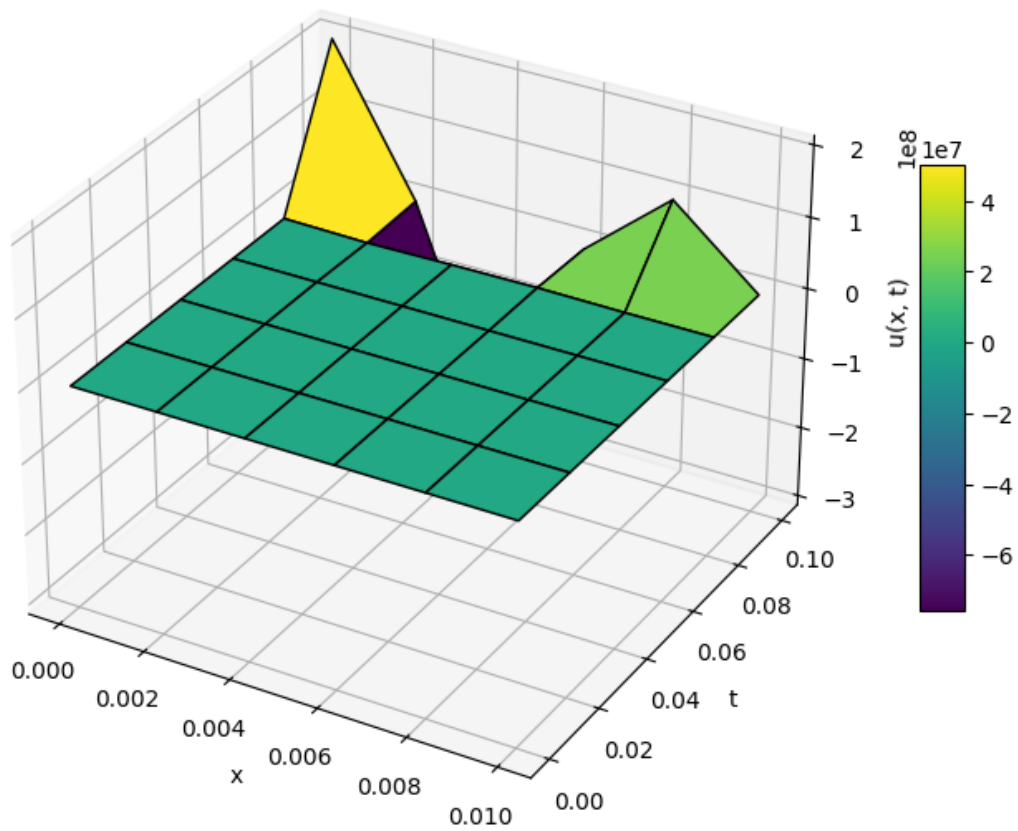
ax.set_xlabel('x')
ax.set_ylabel('t')
ax.set_zlabel('u(x, t)')

fig.colorbar(surf, ax=ax, shrink=0.5, aspect=10)

plt.title('График приближенного решения')
plt.show()
```



График приближенного решения



В данном случае, как можно видеть, разностная схема также получается неустойчивой.

В итоге, несмотря на то, что по методу разделения переменных разностная схема оказалась устойчивой, практически можно увидеть, что схема является неустойчивой для любых  $h$  и  $\tau$ .